

Tampón de parada TMB

Descripción: Stop Buffer (TSB) ofrece una combinación única de ácidos que produce un producto de reacción detenida más estable que otras formulaciones de H₂SO₄ o HCL. Las reacciones detenidas muestran valores de absorbancia aumentados de aproximadamente el doble que las reacciones no detenidas con una deriva mínima de hasta seis horas, dependiendo de diversas condiciones. Este reactivo se puede personalizar para satisfacer las necesidades específicas de cada cliente. Pregunte sobre viales personalizados, etiquetado, ensamblaje de kits y envío directo. Los números de catálogo de sustratos TMB de ScyTek son TM1 y TM4.

Contenido: Combinación patentada de ácidos y tampones en una solución acuosa.

Estabilidad: La vida útil es de 24 meses a partir del día de la fabricación. Evite la contaminación de los reactivos con material de laboratorio que no se haya limpiado a fondo. El ensayo ELISA de TMB es susceptible a la contaminación por metales oxidantes, lo que puede producir una señal de falso positivo.

Usos/Limitaciones: No debe tomarse internamente.
 Para uso en diagnóstico in vitro.
 Aplicaciones inmunológicas.
 No lo use si los reactivos se vuelven turbios.
 No lo use después de la fecha de vencimiento.
 Tenga cuidado al manipular reactivos.
 No estétil.



Disponibilidad:	<u>Artículo #</u>	<u>Volumen</u>
	TSB125	125 ml
	TSB500	500 ml
	TSB999	1000 ml

Información sobre pedidos al por mayor y precios actuales en www.scytek.com

Almacenamiento: Almacenar a 2-8°C.

Precauciones: Evite el contacto con la piel y los ojos.
 Nocivo si se ingiere.
 No pipetee el reactivo por vía oral.
 Siga todas las regulaciones federales, estatales y locales con respecto a la eliminación.

TMB – REACCIÓN HRP

Agentes activadores: Peroxidasa

Sensibilidad a la luz: Insignificante para tiempos de exposición cortos

Almacenamiento: 18°
 C



25° C



Laboratorios ScyTek, Inc.
 205 Sur 600 Oeste
 Logan, UT 84321
 EE.UU.



EC REP

Emergo Europa
 Prinsessegracht 20
 2514 AP La Haya, Países Bajos

P.O. Box 3286 - Logan, Utah 84323, U.S.A. - Tel. (800) 729-8350 - Tel. (435) 755-9848 - Fax (435) 755-0015 - www.scytek.com

Volumen de reacción: 50 - 100 ul por pocillo en placas de microtitulación

Tiempo de reacción: Aproximadamente 15 minutos (Rango 5 - 60 min.)

pH de reacción: Aproximadamente pH 6.0 (rango 5.0 - 7.0)

Temperatura de reacción: Temperatura ambiente


Longitudes de onda máximas: 650 nm, sin parar, producto de reacción azul
450 nm, parado, producto de reacción amarillo


Solución de parada: Volumen igual de Stop Buffer (cat# TSB). Las reacciones detenidas muestran valores de absorbancia aumentados de aproximadamente 2 veces en comparación con las reacciones no detenidas.

Estabilidad de la reacción: Las reacciones detenidas son estables durante al menos 30 minutos a varias horas, dependiendo del nivel de actividad de la peroxidasa. Las reacciones intensas pueden precipitar al estar de pie durante mucho tiempo. Esto se puede prevenir aumentando la concentración de la solución de detención.

Referencias:

1. Hirata, Kumiko y Keiji Kubo. "Relación entre los niveles sanguíneos de N-carboximetil-lisina y pentosidina y la gravedad de la microangiopatía en la diabetes tipo 2". Revista Endocrina 51, no. 6 (2004): 537-44. <https://doi.org/10.1507/endocri.51.537>.
2. Nakamura, Naoto, Goji Hasegawa, Hiroshi Obayashi, Masahiro Yamazaki, Masakazu Ogata, Koji Nakano, Toshikazu Yoshikawa, et al. "Aumento de la concentración de pentosidina, un producto final de glicación avanzada, e interleucina-6 en el vítreo de pacientes con retinopatía diabética proliferativa". Diabetes Research and Clinical Practice 61, no. 2 (1 de agosto de 2003): 93-101. [https://doi.org/10.1016/S0168-8227\(03\)00109-8](https://doi.org/10.1016/S0168-8227(03)00109-8).
3. Sanaka, Tsutomu, Takenori Funaki, Toshihisa Tanaka, Sayako Hoshi, Jyun Niwayama, Takashi Taitoh, Hideki Nishimura y Chieko Higuchi. "Niveles plasmáticos de pentosidina medidos por un método recientemente desarrollado que utiliza ELISA en pacientes con insuficiencia renal crónica". Nephron 91, no. 1 (2002): 64-73. <https://doi.org/10.1159/000057606>.
4. Takahashi, Masaharu, Tsutomu Nishizawa, Haruko Miyajima, Yuhko Gotanda, Teruhiko Iita, Fumio Tsuda y Hiroaki Okamoto. "Las cepas del virus de la hepatitis E porcina en Japón forman cuatro grupos filogenéticos comparables con los de los aislados japoneses del virus de la hepatitis E humana". Revista de Virología General 84, no. 4 (2003): 851-62. <https://doi.org/10.1099/vir.0.18918-0>.
5. Hoshino, Motoaki, Taku Yoshio, Sachiko Onishi y Seiji Minota. "Influencia de los anticuerpos contra infliximab y etanercept en la efectividad del tratamiento de estos agentes en pacientes japoneses con artritis reumatoide". Reumatología Moderna 22, no. 4 (1 de agosto de 2012): 532-40. <https://doi.org/10.3109/s10165-011-0567-8>.
6. Kim, Kang Jung, Shigeru Kotake, Nobuyuki Udagawa, Hideo Ida, Masaji Ishii, Isao Takei, Toshikazu Kubo y Michiaki Takagi. "La osteoprotegerina inhibe in vitro la formación de osteoclastos en ratones inducida por el líquido articular de la artroplastia total de cadera fallida". Revista de Investigación de Materiales Biomédicos 58, no. 4 (2001): 393-400. <https://doi.org/10.1002/jbm.1033>.

Almacenamiento: 18°
C  25° C



Laboratorios ScyTek, Inc.
205 Sur 600 Oeste
Logan, UT 84321
EE.UU.

CE 

EC REP

Emergo Europa
Prinsessegracht 20
2514 AP La Haya, Países Bajos